

## ساختار، ریزساختار، خواص مغناطیسی و الکترومغناطیسی فریت Ni-Mn-Zn تولید شده به روش احتراقی گلیسین- نیترات

رضا قمری<sup>۱</sup>، خلیل الله قیصری<sup>۲\*</sup>

(تاریخ دریافت: ۱۳۹۴/۰۷/۰۶، تاریخ پذیرش: ۱۳۹۴/۱۱/۲۱)

### چکیده

در این پژوهش، فریت نانوساختار منگنز- نیکل- روی با ترکیب شیمیایی  $Mn_{0.5-x}Ni_xZn_{0.5}Fe_2O_4$  ( $x=0,0.1,0.2,0.3,0.4,0.5$ ) به روش سنتز احتراقی تولید شد. در این فرایند، از گلیسین به عنوان سوخت و از نیترات‌های فلزی به عنوان اکسنده استفاده شد. پودرها پس از تولید تحت آتالیز پراش پرتو ایکس قرار گرفت. داده‌های پراش‌سنجد بیانگر تشکیل موققیت‌آمیز ساختار اسپینل در ذرات پودر نانوساختار فریت منگنز- نیکل- روی، در همه نمونه‌ها تولید شده است. بررسی ریخت‌شناسی با استفاده از میکروسکوپ الکترونی روبشی نشر میدان نشان دهنده تشکیل توده‌هایی به هم چسبیده و متخلخل از ذرات اولیه در اثر آزاد شدن گازهای حاصل از احتراق بود که اندازه ذارت اولیه آن در حدود ۳۵ تا ۵۰ نانومتر تخمین زده شد. بررسی‌های مغناطیسی و الکترومغناطیسی بر روی نمونه‌های پودری و فشرده شده به ترتیب با استفاده از دستگاه مغناطش‌سنج نمونه مرتعش و دستگاه الق، ظرفیت و مقاومت‌سنج انجام شد. با افزایش غلظت یون نیکل، مغناطش اشباع، همچنین نفوذپذیری مغناطیسی با کاهش مواجه گردید.

**واژه‌های کلیدی:** فریت نانوساختار منگنز- نیکل- روی، نفوذپذیری مغناطیسی، مغناطش اشباع، سنتز احتراقی، توزیع کاتیونی.

<sup>۱</sup>- دانشجوی کارشناسی ارشد مهندسی مواد، دانشگاه آزاد اسلامی واحد اهواز، دانشکده فنی و مهندسی، اهواز

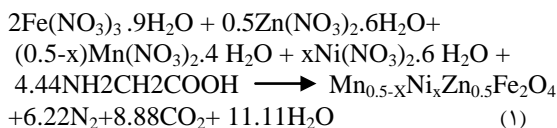
<sup>۲</sup>- استادیار، دانشگاه شهید چمران اهواز، دانشکده مهندسی، گروه مهندسی مواد، اهواز

\* - نویسنده مسئول مقاله: khgheisari@scu.ac.ir

## پیشگفتار

### روش انجام آزمایش

در این پژوهش، فریت منگنز-نیکل-روی با ترکیب شیمیایی  $Mn_{0.5-x}Ni_xZn_{0.5}Fe_2O_4$  و به ازای مقادیر متغیر  $x$  از صفر تا  $0/5$  ( $x=0,0.1,0.2,0.3,0.4,0.5$ ) به روش سنتز خود احتراقی تهیه گردید. به این منظور نیترات‌های  $Mn(NO_3)_2 \cdot 6H_2O$ ,  $Zn(NO_3)_2 \cdot 6H_2O$ ,  $Fe(NO_3)_2 \cdot 6H_2O$ ,  $Ni(NO_3)_2 \cdot 6H_2O$  و گلیسین ( $H_2NCH_2COOH$ ) با نسبت مناسب در آب مقطمر حل شد تا محلول اولیه به دست آید. محلول در یک ظرف شیشه‌ای ریخته شد و سپس بر روی گرم کن الکتریکی به عنوان منبع حرارتی قرار داده شد تا آب اضافی آن حذف و عمل احتراق انجام شود. معادله استوکیومتری برای این واکنش احتراقی به صورت زیر است:



محصول این سنتز، خاکستری متخلخل، پر حجم با مقدار زیادی گازهای حاصل از احتراق بود.

آنالیز فازی و پارامتر شبکه (a) برای هر شش پودر تولیدی به کمک روش پراش پرتوی ایکس (XRD, Co K $\alpha$ ) انجام گرفت. تخمین توزیع کاتیونی و پارامتر موقعیت کریستالی اکسیژن (u)، به ترتیب به کمک پیش فرض‌های تئوری [۱۲,۱۱] و روابط تجربی [۱۲-۱۴] محاسبه گردید. چگالی پودرهای تولید به کمک دستگاه پیکنومتر مدل AccuPyc 1340 Series اندازه‌گیری و با چگالی به دست آمده از پراش‌سنجد مقایسه گردید. ریزساختار نمونه‌ها به کمک میکروسکوپ الکترونی روبشی نشر میدان (FESEM) ارزیابی گردید. به منظور بررسی خواص مغناطیسی از دستگاه‌های مغناطش‌سنج نمونه مرتعش (VSM) استفاده شد. همچنین به کمک دستگاه ذره‌سنج (Particle Quantifier, PQ) با اندازه‌گیری شاخصه مغناطیسی رفتار استاتیک مغناطیسی ارزیابی گردید.

برای سنجش خواص الکترومغناطیسی از دستگاه القا، ظرفیت و مقاومت‌سنج (LCR-meter) استفاده شد. بدین منظور پودرها با قالبی به شعاع خارجی  $20/4$  میلی‌متر و داخلی  $9/9$  میلی‌متر تحت فشار  $300$  مگاپاسکال، به

فریت نیکل-روی و منگنز-روی دو خانواده از مهم‌ترین فریت‌های مغناطیسی نرم محسوب می‌گردد. گرچه این دو فریت در مقیاس صنعتی به روش متداول در تولید سرامیک‌ها تولید می‌شود، اما به دلیل کاهش در مصرف انرژی و تولید پودرهای نانو ذره یا نانوساختار فریتی، توجه محققین به تولید این مواد مغناطیسی به روش‌های شیمیایی نظری هم‌رسوی [۱۱]، هیدروترمال [۲]، سل-ژل [۳] و احتراقی [۴] منعطف شده است. فرایند تولید پودر مغناطیسی در این روش‌ها در دمای نسبتاً پایینی صورت می‌گیرد و پودرهایی ریزتری تولید می‌شود [۵]. روش احتراقی گلیسین-نیترات (GNP<sup>۱</sup>، یکی از روش‌های شیمیایی موثر تولید پودر است که به عنوان یک روش خود احتراقی سریع شناخته شده و در تولید نانو پودرهای سرامیکی و کامپوزیتی با ساختاری همگن و سطح زیاد استفاده می‌شود [۵]. البته یکی از معایب این روش، ایجاد ناخالصی‌های اندک در حین فرایند تولید است [۶] که ممکن است در برخی موارد نیاز به یک عملیات حرارتی ثانویه را ضروری سازد.

فریت منگنز-روی نفوذپذیری اولیه بالا و مقامت الکتریکی کمی دارد. از طرف دیگر فریت نیکل-روی مقاومت الکتریکی بالا و نفوذپذیری اولیه نسبتاً پایینی دارد [۷]. بنابراین، انتظار می‌رود که فریت حاوی هر دو یون نیکل و منگنز بتواند به صورت نسبی هم مقاومت الکتریکی بالا و هم نفوذپذیری اولیه بالایی (متوسط دو فریت نیکل-روی و منگنز-روی) داشته باشد.

نتایجی که در مورد تحقیقات مرتبط با موضوع تحقیق انجام گرفت، نشان می‌دهد که فریت منگنز-نیکل-روی تاکنون به روش‌های هم‌رسوی [۸]، سیترات-نیترات [۹] و سل-ژل [۱۰] تولید شده؛ اما تا کنونی گزارشی در مورد تولید آن به روش سنتز احتراقی ارائه نگردیده است. با توجه به اینکه روش سنتز احتراقی در مجموع به دلیل اثر اندازه ذرات، مغناطیش اشباع بالایی را به همراه دارد، در این تحقیق این روش برگزیده شد. با افزودن یون نیکل به فریت منگنز-روی، اثر تغییر در ترکیب شیمیایی مورد مطالعه قرار خواهد گرفت.

<sup>۱</sup> - GNP: Glycine Nitrate Process

یکی از معایب تولید فریت‌ها به روش سنتز احتراقی گلیسین- نیترات، ایجاد ناخالصی‌های جزئی در هنگام فرایند تولید است که البته به کمک یک عملیات حرارتی ثانویه قابل برطرف شدن است [۱۷]. تحقیقات برهان و همکاران [۱۶] نشان داده که حضور این ناخالصی‌ها به ترکیب نیترات‌های اولیه مورد استفاده نیز ارتباط دارد. در پژوهش حاضر، ناخالصی‌های جزئی عمدتاً از نوع اکسید آهن با ترکیب  $\text{Fe}_2\text{O}_4$  تشخیص داده شد. در ترکیب‌های غنی از نیکل، ترکیبی از آهن- نیکل نیز قابل مشاهده است. همان‌گونه که انتظار می‌رود، با کاهش مقدار نیکل اولیه، این ترکیب رفته رفته محو گردیده است. در شکل ۳ آنالیز فازی مربوط به نمونه  $\text{Mn}_{0.1}\text{Ni}_{0.43}\text{Zn}_{0.5}\text{Fe}_2\text{O}_4$  آمده است. در این ترکیب نحوه شناسایی فاز اصلی اسپینل و ناخالصی‌های اکسید آهن و ترکیبی از آهن- نیکل مشخص گردیده است.

چگالی حاصل از داده‌های پراش‌سنگی، با استفاده از رابطه زیر محاسبه گردیده است [۱۴]:

$$\rho = \frac{8M}{Na^3} \quad (2)$$

در این رابطه،  $a$  پارامتر شبکه،  $M$  عدد جرمی،  $N$  عدد آوگادرو است. ضریب ۸ نشانگر آن است که هر سلول واحد اسپینل، به میزان ۸ برابر واحد فرمول شیمیایی خود، حاوی اکسیژن و کاتیون‌ها است.

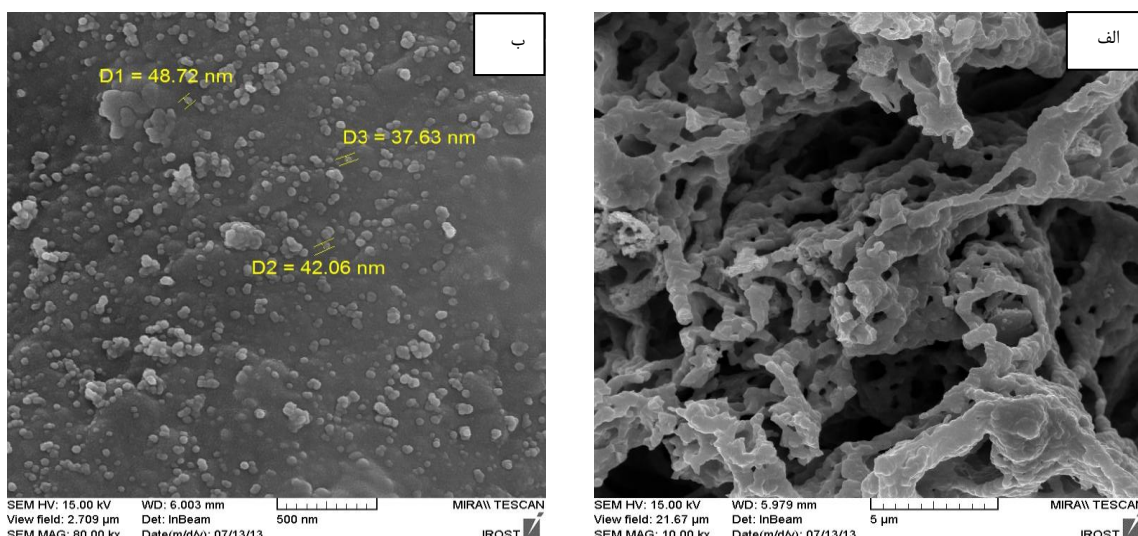
صورت حلقه درآمدند و سپس با سیم مسی روکش دار با قطر سطح مقطع ۰/۲۵ میلی‌متر، به تعداد ۱۰۰ دور سیم پیچی شدند.

## نتایج و بحث ریزساختار

شکل ۱، تصاویر میکروسکوپ الکترونی روبشی نشر میدانی (FSEM) پودر تولیدی مربوط به ترکیب  $\text{Mn}_{0.2}\text{Ni}_{0.3}\text{Zn}_{0.5}\text{Fe}_2\text{O}_4$  را نشان می‌دهد. همان‌گونه که در شکل ا-الف دیده می‌شود، پودر تولید شده حاوی کلوخه‌های درشت و مملو از تخلخل و سطوح فراوان است. این احتراقی آزاد شده است. در شکل ا-ب نشان داده شده که هر یک از این کلوخه‌ها از به هم پیوستگی ذراتی در مقیاس نانومتر تشکیل شده است. اندازه این ذرات در حدود ۳۵ تا ۵۰ نانومتر قرار گرفته است. بنابراین پودر تولیدی، متتشکل از کلوخه‌های از ذرات نانومتری است که به شدت به یکدیگر چسبیده و در هم تنیده است.

## ساختار و پارامترهای ساختاری

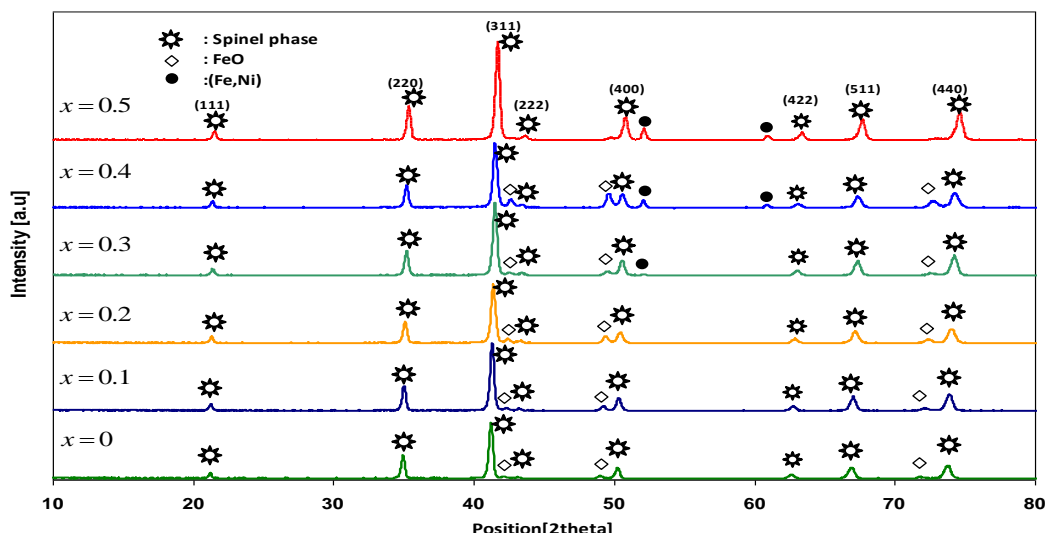
شکل ۲، الگوی پراش پرتو ایکس پودرهای تولید شده را نشان می‌دهد. الگوی پراش به دست آمده، نشان دهنده تشکیل ساختار اسپینل فریت‌های نیکل- منگنز- روی در هر شش نمونه‌ی پودری است. این خطوط پراش، بویژه (۳۱۱) که بلندترین خط پراش را به خود اختصاص داده، در پژوهش‌های دیگر نیز تأیید شده است [۱۵، ۱۶].



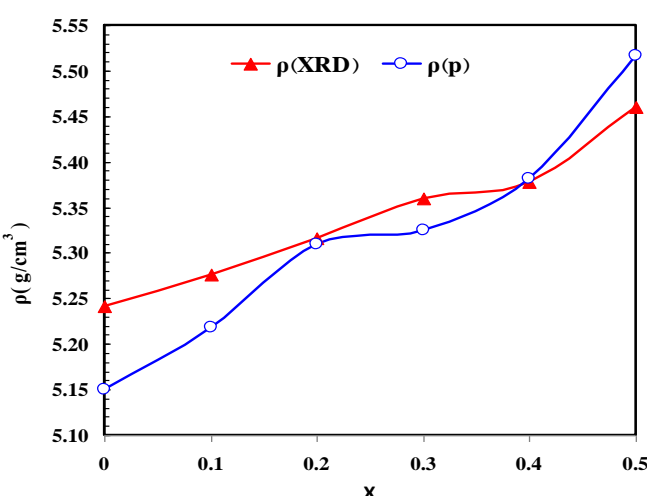
شکل ۱- تصویر FESEM از نمونه  $\text{Mn}_{0.2}\text{Ni}_{0.3}\text{Zn}_{0.5}\text{Fe}_2\text{O}_4$  در مقیاس‌های (الف) ۱۰۰۰۰ برابر و (ب) ۸۰۰۰۰ برابر

اندازه پارامتر شبکه (a) به کمک رابطه  $a = d\sqrt{h^2 + k^2 + l^2}$  [۱۸] محاسبه شد. نتایج محاسبات در جدول ۱ آمده است. در این رابطه d با استفاده از قانون براگ بدست آمده و  $h,k,l$  اندیس‌های میلر مربوط به آخرین خط پراش است. همچنین اندازه بلورک فریت‌های تولیدی به کمک روش شر محسوبه کردید که در محدوده ۲۸ تا ۵۰ نانومتر قرار دارد (جدول ۱) و اطمینان مطلوبی را با نتایج به دست آمده از میکروسکوپ الکترونی نشان می‌دهد. این به آن معنا است که ذرات اولیه مشاهده شده در تصاویر میکروسکوپی، کم و بیش تک کریستال است.

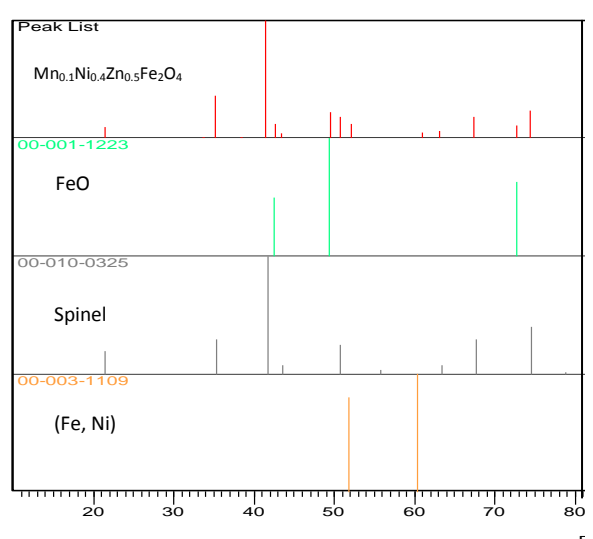
مقادیر محاسبه شده برای چگالی حاصل از پراش با چگالی اندازه‌گیری شده به کمک روش پودری پیکنومتری در شکل ۴ مقایسه شده است. در هر دو حالت با افزایش یون نیکل، چگالی به طور نسبی با افزایش همراه است؛ از طرفی داده‌های حاصل به هم نزدیک و هر دو از روندی صعودی پیروی می‌کند. نزدیکی این دو چگالی نشان می‌دهد که ترکیب شیمیایی فریت نیکل-منگنز-روی در همه نمونه به مقدار قابل انتظار بسیار نزدیک است. به عبارت دیگر فریت‌ها با ترکیب شیمیایی دلخواه تولید شده است.



شکل ۲- الگوهای پراش پرتوی ایکس نمونه‌های پودر فریت  $\text{Mn}_{0.5-x}\text{Ni}_x\text{Zn}_{0.5}\text{Fe}_2\text{O}_4$  در مقادیر مختلف x



شکل ۴- چگالی پیکنومتری و چگالی حاصل از نتایج XRD فریت  $\text{Mn}_{0.5-x}\text{Ni}_x\text{Zn}_{0.5}\text{Fe}_2\text{O}_4$  در مقادیر مختلف x



شکل ۳- آنالیز فازی الگوی پراش مربوط به نمونه  $\text{Mn}_{0.1}\text{Ni}_{0.4}\text{Zn}_{0.5}\text{Fe}_2\text{O}_4$

جدول ۱- پارامتر شبکه ، پارامتر موقعیت کریستالی اکسیژن (u) ، چگالی و توزیع کاتیونی  
ترکیب  $Mn_{0.5-x}Ni_xZn_{0.5}Fe_2O_4$  در مقادیر مختلف x

نمونه	پارامتر شبکه (Å)	اندازه بلورک (nm)	چگالی (g/cm³)	پارامتر U	توزیع کاتیونی در فضای اکتاهدرال	توزیع کاتیونی در فضای تتراهدرال	توزیع کاتیونی در فضای تتراهدرال
X₀	۸/۴۳	۳۸/۴۵	۵/۲۴۱	۰/۳۹۱	Mn <sub>0.5</sub> Zn <sub>0.5</sub> Fe <sub>1.9</sub>	Mn <sub>0.5</sub> Fe <sub>1.9</sub>	Mn <sub>0.5</sub> Zn <sub>0.5</sub> Fe <sub>1.9</sub>
X₁	۸/۴۱	۵۰/۶۵	۵/۲۷۶	۰/۳۹۰	Mn <sub>0.32</sub> Zn <sub>0.5</sub> Fe <sub>1.18</sub>	Mn <sub>0.32</sub> Ni <sub>0.18</sub> Fe <sub>1.82</sub>	Mn <sub>0.32</sub> Zn <sub>0.5</sub> Fe <sub>1.18</sub>
X₂	۸/۳۹	۳۳/۹۰	۵/۳۱۶	۰/۳۸۹	Mn <sub>0.24</sub> Zn <sub>0.5</sub> Fe <sub>0.26</sub>	Mn <sub>0.24</sub> Ni <sub>0.26</sub> Fe <sub>1.74</sub>	Mn <sub>0.24</sub> Zn <sub>0.5</sub> Fe <sub>0.26</sub>
X₃	۸/۳۸	۴۵/۹۵	۵/۳۵۹	۰/۳۸۸	Mn <sub>0.16</sub> Zn <sub>0.5</sub> Fe <sub>0.34</sub>	Mn <sub>0.16</sub> Ni <sub>0.34</sub> Fe <sub>1.66</sub>	Mn <sub>0.16</sub> Zn <sub>0.5</sub> Fe <sub>0.34</sub>
X₄	۸/۳۷	۲۸/۸۵	۵/۳۷۷	۰/۳۸۸	Mn <sub>0.08</sub> Zn <sub>0.5</sub> Fe <sub>0.42</sub>	Mn <sub>0.08</sub> Ni <sub>0.42</sub> Fe <sub>1.58</sub>	Mn <sub>0.08</sub> Zn <sub>0.5</sub> Fe <sub>0.42</sub>
X₅	۸/۳۳	۴۲/۹۰	۵/۴۶۰	۰/۳۸۶	Ni <sub>0.5</sub> Fe <sub>1.5</sub>	Ni <sub>0.5</sub> Fe <sub>1.5</sub>	Zn <sub>0.5</sub> Fe <sub>0.5</sub>

### تخمین توزیع کاتیونی و پارامترهای ابعادی

برای تخمین توزیع کاتیونی از این پیش فرض استفاده شد که ۸۰ درصد از یون‌های منگنز در فضای تتراهدرال و ۲۰ درصد از آن‌ها در فضای اکتاهدرال قرار می‌گیرد و یون‌های روی به دلیل ساختار الکترونی خاص خود، تمایل به قرارگیری در فضای تتراهدرال و یون‌های نیکل تمایل به قرارگیری در فضای اکتاهدرال دارد. یون‌های آهن نیز بین دو مکان تقسیم می‌شود [۱۲، ۱۱]. با این پیش فرض‌ها، رابطه کلی توزیع کاتیونی در فریت فریت  $Mn_{0.5-x}Ni_xZn_{0.5}Fe_2O_4$  می‌آید:

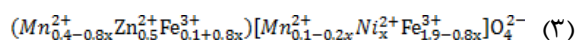
$$r_A = a \sqrt{3} \left( u - \frac{1}{4} \right) - R_o \quad (6)$$

$$r_B = a \left[ 3u^2 - 2.75u + \frac{43}{64} \right]^{0.5} - R_o \quad (7)$$

که  $R_o$  شاعع یونی اکسیژن است. با در اختیار داشتن شاعع یونی کاتیون‌ها و آئیون اکسیژن و اندازه‌گیری پارامتر شبکه از روی الگوی پراش، به کمک روابط فوق  $r_A$  و  $r_B$  پارامتر موقعیت کریستالی اکسیژن (u) را می‌توان به دست آورد. به این منظور، شاعع یونی روی  $74^\circ$ ، شاعع یونی منگنز  $82^\circ$ ، شاعع یونی آهن در فضای تتراهدرال  $55^\circ$ ، شاعع یونی آهن در فضای اکتاهدرال  $64^\circ$  و شاعع یونی اکسیژن معادل با  $32^\circ$  آنگستروم در نظر گرفته شد [۱۹].

توزیع کاتیونی به همراه پارامتر شبکه، چگالی سلول واحد اسپینل و پارامتر موقعیت کریستالی اکسیژن بر حسب مقادیر مختلف نیکل در جدول ۱ آورده شده است. نتایج جدول ۱ نشان می‌دهد که با افزایش یون‌های نیکل و قرارگیری آن‌ها در مکان‌های اکتاهدرال، یون‌های آهن بیشتری به مکان‌های تتراهدرال مهاجرت می‌کنند.

شکل ۵ نشان می‌دهد که با افزایش یون‌های نیکل در فریت نیکل-منگنز-روی،  $r_B$  افزایش و پارامترهای U و  $r_A$  کاهش می‌یابد. کاهش شاعع فضای تتراهدرال،  $r_A$ ، به دلیل کاهش یون‌های  $Mn^{2+}$  ( $0.82\text{\AA}$ ) در مکان‌های A و جایگزینی یون‌های کوچک‌تر  $(Fe^{3+})$  ( $0.55\text{\AA}$ ) می‌باشد.



با توجه به توزیع کاتیونی، می‌توان شاعع متوسط فضاهای تتراهدرال و اکتاهدرال را به دست آورد [۱۵]. با در نظر گیری توزیع کاتیونی آورده شده در رابطه ۳، شاعع این فضاهای برابر خواهد شد [۱۳]:

$$r_A = r_{Mn^{2+}}(0.4 - 0.8x) + r_{Zn^{2+}}0.5 + r_{Fe^{3+}}(0.1 + 0.8x) \quad (4)$$

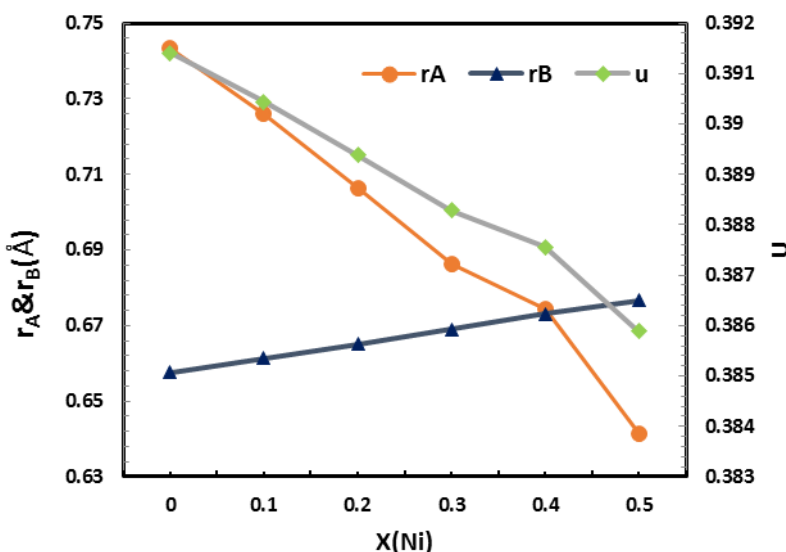
$$r_B = \frac{1}{2} [r_{Mn^{2+}}(0.1 - 0.2x) + r_{Ni^{2+}}(x) + r_{Fe^{3+}}(1.9 - 0.8x)] \quad (5)$$

از طرفی شاعع فضاهای تتراهدرال و اکتاهدرال از روابط زیر به دست می‌آید [۱۴، ۱۲].

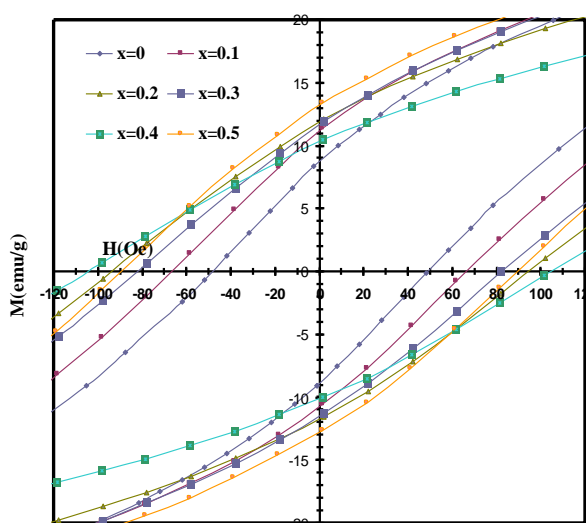
می‌دهد. هر چه شعاع یون‌های جایگزین شده بیشتر باشد، فاصله O-A بیشتر افزایش یافته که به معنای افزایش پارامتر  $u$  است. نتایج شکل ۵ نشان می‌دهد که افزایش یون نیکل، کاهش این پارامتر را به دنبال داشته است که به خوبی با نتایج توزیع کاتیونی سازگار است. با افزایش مقدار یون نیکل، غلظت منگنز در فضای تتراهدرال کاهش یافته که در اثر آن شعاع فضای تتراهدرال نیز کمتر می‌شود؛ بنابراین رانش اعمال شده به یون‌های اکسیژن نیز کاهش می‌یابد که کاهش فاصله O-A و پارامتر  $u$  را به دنبال دارد.

افزایش شعاع فضای اکتاھدرال،  $r_B$ ، نیز به دلیل مهاجرت یون‌های کوچک‌تر آهن از مکان‌های B به مکان‌های A و جایگزینی یون‌های بزرگ‌تر ( $\text{Ni}^{2+}/77\text{\AA}$ ) در مکان‌های B است.

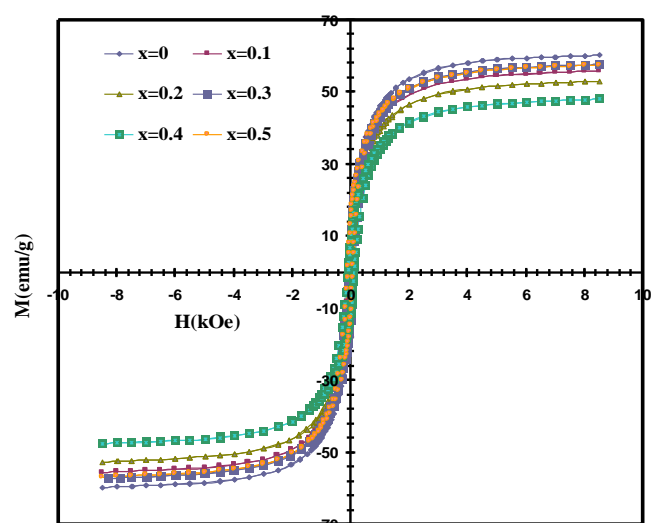
پارامتر  $u$ ، معرف موقعیت یون اکسیژن نسبت به مبداء سلول واحد اسپینل (فضای تتراهدرال) است که به صورت نسبی نسبت به قطر سلول واحد تعريف می‌گردد. در یک ساختار اسپینل ایده‌آل، این پارامتر برابر با  $0.375$  است. اما قرارگیری کاتیون‌های بزرگ‌تر نسبت به شعاع فضای خالی تتراهدرال، سبب رانش یون‌های اکسیژن در امتداد قطر اصلی می‌شود و بنابراین مقدار این پارامتر را افزایش



شکل ۵-تغییرات شعاع‌های یونی ( $r_A$  و  $r_B$ ) و پارامتر موقعیت اکسیژن،  $U$ ، فریت  $\text{Mn}_{0.5-x}\text{Ni}_x\text{Zn}_{0.5}\text{Fe}_2\text{O}_4$  با مقدار نیکل ( $X$ )



شکل ۷-بخش مرکزی حلقه‌های هیسترزیس شکل ۶



شکل ۶-حلقه‌های هیسترزیس به ازای مقادیر مختلفی از نیکل ( $x$ )

توجه به اینکه گشتاور مغناطیسی برای هر یون  $\text{Fe}^{3+}$  و  $\text{Mn}^{2+}$  برابر  $5\mu_B$  و برای هر یون  $\text{Ni}^{2+}$  برابر  $2\mu_B$  است [۱۲، ۱۱]، همچنین با توجه به نحوه توزیع کاتیونی (رابطه ۳)، مقدار گشتاور مغناطیسی برابر خواهد شد با:

$$n_B^N(x) = (7.5 - 3x)\mu_B \quad (9)$$

با توجه به رابطه فوق انتظار می‌رود که با افزایش غلظت یون نیکل ( $x$ )، گشتاور مغناطیسی برآیند کاهاش یابد که این روند را می‌توان در شکل ۸ مشاهده نمود. کاهاش مغناطش اشباع به دلیل کم شدن غلظت یون‌های مغناطیسی در مکان B به دلیل مهاجرت یون‌های مغناطیسی  $\text{Fe}^{3+}$  به مکان‌های A است؛ بنابراین طبق رابطه ۸، برهمکنش بین مکان‌های A و B تضعیف شده و می‌یابد.

کاهاش  $M_s$

## رفتار استاتیک مغناطیسی

منظور از رفتار استاتیک مغناطیسی، مشخصه‌های مغناطیسی است که در شرایط جریان مستقیم و به کمک آزمون مغناطش‌سنج نمونه مرتعش (VSM<sup>۱</sup>) به دست آمده است. در شکل ۶ منحنی‌های مغناطیسی برای فریت‌های تولیدی، نشان داده شده است. شکل ۷ نیز بخشی از حلقه پسماند را نشان می‌دهد که محل برخورد نمودار با محور افقی و عمودی است و نشان دهنده میزان مغناطش پسماند و میدان پسماندزدا است. از روی منحنی‌های مغناطیسی، میدان پسماندزدای مغناطیسی ( $H_s$ ) و مغناطش اشباع ( $M_s$ ) به دست آمد.

شکل ۸، تغییرات مغناطش اشباع بر حسب افزایش یون نیکل را در کنار شاخصه مغناطیسی PQ<sup>۳</sup> نشان می‌دهد. همان‌گونه که مشاهده می‌شود، M<sub>s</sub> و شاخص PQ مغناطیسی دارای روندی مشابه و در مجموع نزولی هستند. بنابراین، نتایج شاخصه مغناطیسی PQ، روند تغییرات M<sub>s</sub> اندازه‌گیری شده در نمونه‌های فریت نیکل-منگنز-روی را به خوبی تأیید می‌کند.

لازم به ذکر است که مغناطش در فریت‌ها تحت تأثیر نحوه توزیع کاتیونی در ساختار اسپینل آن‌ها است. مطابق با تئوری نیل (Neel's theory)، مغناطش ساختار اسپینل از برآیند برهمکنش مغناطیسی بین گشتاورهای مغناطیسی دو مکان تتراهرال و اکتاهرال به دست می‌آید.

این گشتاور مغناطیسی برآیند که به صورت تعداد یکای گشتاور مغناطیسی (Bohr magneton) ( $\mu_B$ ) به ازای یک واحد ترکیب شیمیایی فریت بیان می‌گردد، از رابطه زیر محاسبه می‌شود [۱۴].

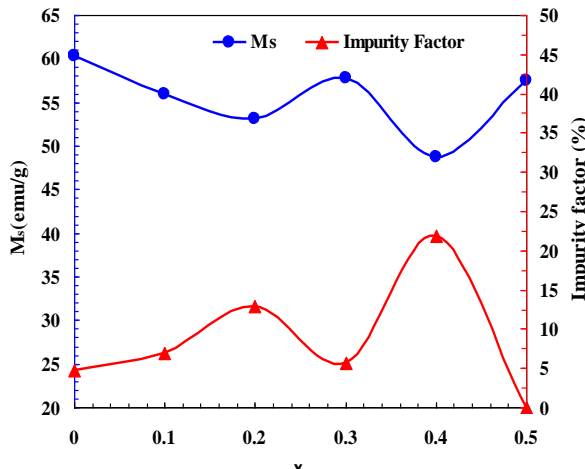
$$n_B^N(x) = M_B(x) - M_A(x) \quad (8)$$

که M<sub>B</sub> و M<sub>A</sub> برابر است با تعداد یکای گشتاور مغناطیسی به ترتیب در فضاهای اکتاهرال و تتراهرال به ازای یک واحد ترکیب شیمیایی فریت است. بر اساس اصل نیل، گشتاور مغناطیسی مکان‌های تتراهرال و اکتاهرال به موازات یکدیگر اما در خلاف جهت هم قرار دارد [۱۴]. با

<sup>۱</sup> - Vibrating Sample Magnetometer

<sup>۲</sup> - Saturation Magnetization

<sup>۳</sup> - Particle Quantifier



شکل ۷- تغییرات  $M_s$  و شاخصه ناخالصی بر حسب افزایش  $x$  در  $\text{Mn}_{0.5-x}\text{Ni}_x\text{Zn}_{0.5}\text{Fe}_2\text{O}_4$

منظور از رفتار دینامیک مغناطیسی، مشخصه‌های مغناطیسی است که در شرایط جریان متناوب به دست آمده است. این مشخصه‌ها عبارت است از نفوذپذیری و فاکتور تلفات مغناطیسی [۲۰].

معمولًا نفوذپذیری مغناطیسی در فریتها به دو مکانیزم مغناطیسی چرخش حوزه‌ها و حرکت دیواره حوزه‌ها به صورت زیر نسبت داده می‌شود [۲۱]:

$$\mu_i = I + X_{\omega} + X_{\text{spin}} \quad (10)$$

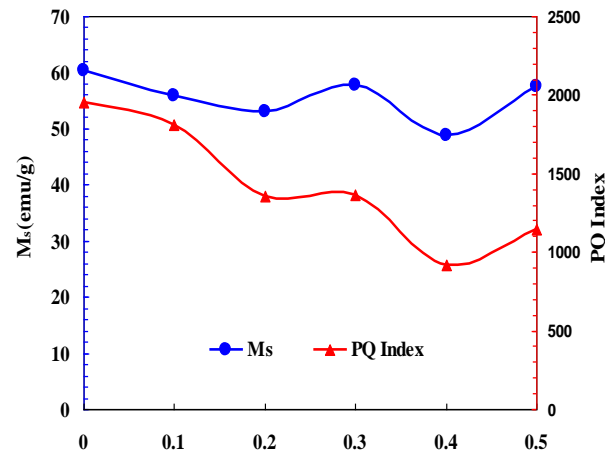
در این رابطه،  $X_{\omega}$  حساسیت‌پذیری مغناطیسی ناشی از حرکت دیواره حوزه‌ها و  $X_{\text{spin}}$  حساسیت‌پذیری مغناطیسی در اثر چرخش ذاتی حوزه‌ها می‌باشد که با استفاده از روابط زیر محاسبه می‌شود [۲۱]:

$$X_{\omega} = 3\pi M_s^2 D / 4\gamma \quad (11)$$

$$X_{\text{spin}} = 2\pi M_s^2 / k_1 \quad (12)$$

که  $M_s$  مغناطش اشعاع،  $k_1$  ضریب ناهمسانگردی،  $D$  میانگین اندازه دانه و  $\gamma$  انرژی دیواره حوزه‌های مغناطیسی می‌باشد [۲۱].

با توجه به روابط ۱۱ و ۱۲ هر دو نوع حساسیت‌پذیری ناشی از حرکت حوزه‌ها و چرخش حوزه‌ها متأثر از مغناطش اشعاع می‌باشد. شکل ۸ نشان داد که با افزایش مقدار نیکل، مغناطش اشعاع کاهشی یافت. در شکل ۱۱ نیز این روند را می‌توان برای نفوذپذیری در فرکانس‌های مختلف ملاحظه نمود. مشابه بودن روند تغییرات نفوذپذیری با مغناطش اشعاع بیانگر تأثیر یکسان ترکیب شیمیایی بر روی این دو خاصیت مغناطیسی فریت نیکل-منگنز-روی است.

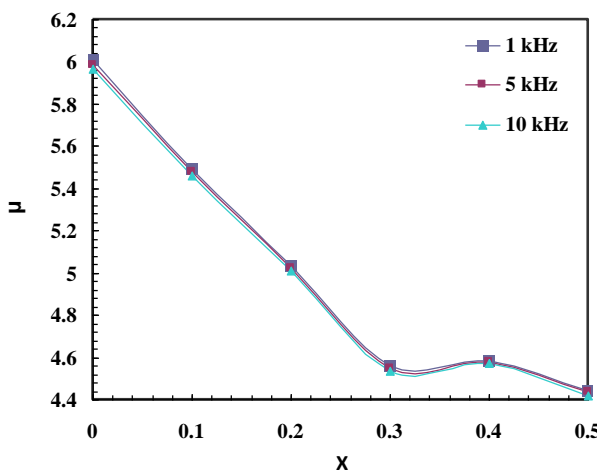


شکل ۸- تغییرات  $M_s$  و شاخصه مغناطیسی PQ بر حسب افزایش  $x$  در  $\text{Mn}_{0.5-x}\text{Ni}_x\text{Zn}_{0.5}\text{Fe}_2\text{O}_4$

در شکل ۸، علی‌رغم روند نزولی مغناطش اشعاع با افزایش یون‌های نیکل، نوساناتی مشاهده می‌گردد. الگوهای پراش پرتو ایکس نشان می‌دهد که این نوسانات بسیار متأثر از حضور ناخالصی غیرمغناطیسی  $\text{FeO}$  است.

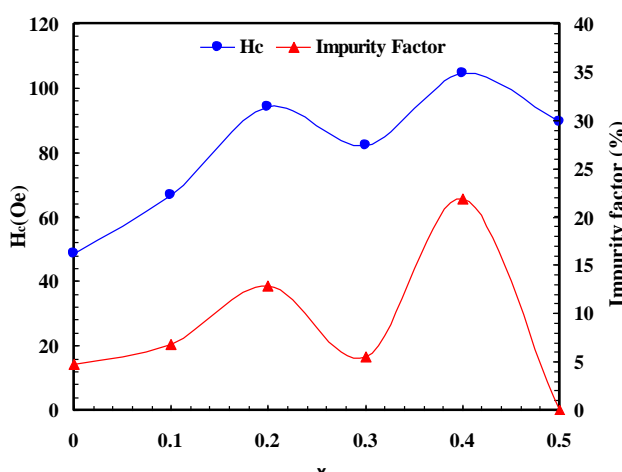
نسبت شدیدترین خط پراش این ناخالصی (زاویه  $2\theta \approx 49.2^\circ$ ) به شدیدترین خط پراش فاز اسپینل (زاویه  $2\theta \approx 41.4^\circ$ ) به عنوان معیار ناخالصی غیرمغناطیسی در نظر گرفته شد ( $I_{\text{FeO}}^{\max} / I_{\text{Spinel}}^{\max}$ ). نحوه تغییرات شاخصه ناخالصی غیرمغناطیسی به همراه مغناطش اشعاع در شکل ۹ نشان داده شده است. این شکل به خوبی نشان می‌دهد که چگونه کاهش یا افزایش ناخالصی، قله‌ها و دره‌های مغناطش اشعاع را علی‌رغم روند نزولی آن توجیه می‌نماید. در کنار مغناطش اشعاع، میدان پسماندزادا ( $H_c$ ) از دیگر خواص مهم فریتها نرم است. هر چه میدان پسماندزادا کمتر باشد، ماده راحت‌تر حالت مغناطیسی خود را از دست می‌دهد و می‌توان نتیجه گرفت که ماده نرم‌تر است. شکل ۱۰ نشان می‌دهد که با افزایش یون‌نیکل، میدان پسماندزادا نیز زیاد می‌شود. از طرفی، بین فاکتور ناخالصی و میدان پسماندزادا هماهنگی کاملی مشاهده می‌شود. به نظر می‌رسد که ناخالصی‌ها با قفل کردن دیواره حوزه‌های مغناطیسی، از تحرک آن‌ها ممانعت به عمل آورده و در نتیجه سبب افزایش میدان پسماندزادا می‌شود.

## Riftar Dinamik Mgnatissi



شکل ۱۱- تغییرات نفوذ پذیری مغناطیسی نمونه‌های فریت  $Mn_{0.5-x}Ni_xZn_{0.5}Fe_2O_4$  با مقدار  $x$  ، در سه فرکانس افزایش  $x$  در  $Mn_{0.5-x}Ni_xZn_{0.5}Fe_2O_4$

رابطه معکوس با مقاومت الکتریکی دارد. افزایش مقاومت الکتریکی به منزله تلفات جریان گردابی کمتر، خصوصاً در فرکانس‌های بالا و در نتیجه نفوذپذیری مغناطیسی پایدارتر و بالاتر است [۲۰]. به منظور ارزیابی این فرضیه، مقاومت الکتریکی برای نمونه غنی از منگنز ( $x=0$ ) و غنی از نیکل ( $x=0.5$ ) اندازه‌گیری شده که به ترتیب برابر با  $14/5 M\Omega$  و  $1/2 M\Omega$  بود. با توجه به مقاومت الکتریکی کمتر نمونه غنی از نیکل، تلفات بالاتر و نفوذپذیری کمتر آن قابل توجیه است. در شکل ۱۳ نحوه تغییرات این دو مشخصه برای فرکانس انتخابی فرکانس  $10\text{kHz}$  نشان داده شده است. این رفتار کم و بیش در فرکانس‌های دیگر نیز صادق است.

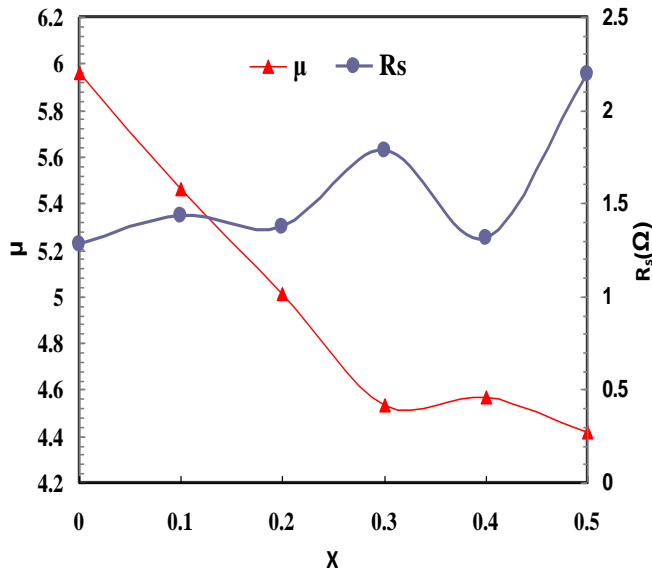


شکل ۱۰- تغییرات  $H_c$  و شاخصه ناخالصی بر حسب افزایش  $x$  در  $Mn_{0.5-x}Ni_xZn_{0.5}Fe_2O_4$

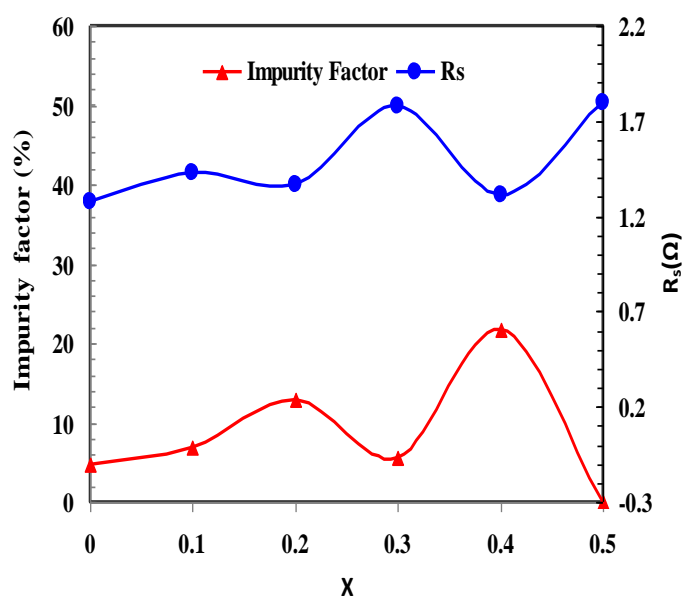
در کنار نفوذپذیری مغناطیسی، فاکتور تلفات مغناطیسی معیار مکمل دیگری است که تعیین کننده خواص دینامیک مغناطیسی است. فاکتور تلفات مغناطیسی به صورت‌های مختلفی نظری تائزانست تلفات ( $\tan\delta/\mu$ )، نسبت تائزانست تلفات به نفوذپذیری نسبی ( $\tan\delta/\mu$ ) و مقاومت سری سیم پیچ در اثر حضور هسته مغناطیسی ( $R_s$ ) قابل ارائه است. در این تحقیق از  $R_s$  به عنوان فاکتور تلفات مغناطیسی استفاده شده است.

در شکل ۱۲ مقادیر  $R_s$  در کنار فاکتور ناخالصی به صورت تابعی از مقدار یون نیکل برای نمونه‌های مختلف فریت  $Mn_{0.5-x}Ni_xZn_{0.5}Fe_2O_4$  در فرکانس  $10\text{KHZ}$  رسم گردیده است. با توجه به شکل، فاکتور تلفات و فاکتور ناخالصی غیرمغناطیسی رابطه معکوسی دارند. در جای که مقدار ناخالصی غیرمغناطیسی قابل صرفنظر می‌شود ( $Ni_{0.5}Zn_{0.5}Fe_2O_4$ )، بیشترین مقدار تلفات اندازه‌گیری گردیده است.

در کنار فاز ناخالصی غیرمغناطیسی اکسید آهن، حضور فاز فرومغناطیس آهن-نیکل در فریت غنی از نیکل، در اثر گذاری بر رفتار الکترومغناطیس نیز موثر است. از آنجا که این فاز فلزی می‌باشد، مقاومت الکتریکی کمی داشته و به دلیل بر جسته شدن اثر جریان گردابی در آن، تلفات مغناطیسی را بیش از حد انتظار در فریت می‌کند. افزایش تلفات نیز خود، کاهش نفوذپذیری مغناطیسی را به دنبال دارد. لازم به ذکر است که تلفات مغناطیسی در فریت‌ها



شکل ۱۳- تغییرات نفوذپذیری و فاکتور تلفات فریت‌های  $10\text{kHz}$  در فرکانس  $\text{Mn}_{0.5-x}\text{Ni}_x\text{Zn}_{0.5}\text{Fe}_2\text{O}_4$



شکل ۱۲- تغییرات فاکتور ناخاصی و فاکتور تلفات فریت  $10\text{ KHz}$  در فرکانس  $\text{Mn}_{0.5-x}\text{Ni}_x\text{Zn}_{0.5}\text{Fe}_2\text{O}_4$  نتیجه‌گیری

مهم‌ترین دستاوردهای این پژوهش را می‌توان به صورت زیر خلاصه نمود:

۱- الگوی پراش پرتو ایکس نشان داد که فریت مورد نظر در ترکیب‌های مختلف با موفقیت تولید شده است. در کنار فاز اصلی اسپینل، ناخالصی غیرمغناطیسی اکسید آهن  $\text{FeO}$  مشاهده گردید که نقش برجسته‌ای را بر روی خواص مغناطیسی داشته است. همچنین در نمونه‌های غنی از نیکل، فاز مغناطیسی ( $\text{Fe}, \text{Ni}$ ) مشاهده شد که حضور این فاز رفتار الکترومغناطیس را به شدت تحت تاثیر قرار داده است.

۲- برمبنای ارزیابی‌های ساختاری و ریزساختاری، فریت‌های تهیه شده نانوساختار بوده و اندازه ذرات اولیه آن در محدوده ۲۸ تا ۵۰ نانومتر قرار دارد. تطابق نسبی مقادیر

به دست آمده از روش پراش‌سنجدی و میکروسکوپ الکترونی نشان داد که ذرات اولیه کم و بیش تک کریستال است.

۳- با افزایش میزان نیکل، مغناطیش اشباع کاهش یافت که روند نزولی آن به کمک مدل خطی نیل و با توجه به مدل توزیع کاتیونی ارائه شده قابل تفسیر است. همچین نوسانات مشاهده شده در مغناطیش اشباع بر مبنای میزان فاز ناخالصی اکسید آهن به خوبی قابل توجه است.

۴- میزان نفوذپذیری مغناطیسی و فاکتور تلفات مغناطیسی به ترتیب با افزایش مقدار یون نیکل، کاهش و افزایش یافت. مقدار کمتر از انتظار نفوذپذیری مغناطیس نمونه غنی از نیکل، خصوصاً در فرکانس‌های بالا، به دلیل حضور فاز آهن-نیکل بر می‌گردد که به کاهش مقاومت الکتریکی این نمونه انجامیده است.

۵- در مجموع، نمونه غنی از منکنر، چه از منظر خواص استاتیک مغناطیسی و چه از منظر خواص الکترومغناطیسی، رفتار مطلوب‌تری را نشان داد.

**References:**

- 1- R. Raeisi Shahraki, M. Ebrahim, S.A. Seyyed Ebrahimi, S.M. Masoudpanah, "Structural characterization and magnetic properties of superparamagnetic zinc ferrite nanoparticles synthesized by the coprecipitation method", *Journal of Magnetism and Magnetic Materials*, Vol.324, pp. 3762-3765, 2012.
- 2- S. Komarneni, E. Fregeau, E. Breval, R. Roy," Hydrothermal Preparation of Ultrafine Ferrites and Their Sintering", *Journal of American Ceramic Society*, Vol. 71, pp. C26-C28, 1988.
- 3- A. S. Albuquerque, J. D. Ardisson, W. A. A.Macedo," A study of nanocrystalline NiZn-ferrite-SiO<sub>2</sub> synthesized by sol-gel", *Journal of Magnetism and Magnetic Materials*, Vol.192, pp. 277-280, 1999.
- 4- L.A. Chick, L.R. Pederson, G.D. Maupin, J.L. Bates, L.E. Thomas, G. J. Exarhos,"Glycine-nitrate combustion synthesis of oxide ceramic powders", *Materials Letter*, Vol.10, pp. 6-12, 1990.
- 5- S. Verma, S. D. Pradhan, R. Pasricha, S. R. Sainkar, P. A. Joy," Novel Low-Temperature Synthesis of Nanosized NiZn Ferrite", *Journal of American Ceramic Society*, Vol.88, pp.2597-2599, 2005.
- 6- N. Borhan, K. Gheisari, "Structural and magnetic properties of nanocrystalline lithium-zinc ferrite synthesized by microwave-induced glycine-nitrate process", *Journal of Superconductivity and Novel Magnetism*, Vol. 27, pp.1483-1490, 2014.
- 7- A. K. Singh, A. Verma, O.P. Thakur, C. Prakash ,T.C. Goel, R.G. Mendiratta, "Electrical and magnetic properties of Mn-Ni-Zn ferrites processed by citrate precursor method", *Materials Letters*, Vol.57, pp.1040–1044, 2003.
- 8- C.Venkataraju, G. Sathishkumar, K. Sivakumar, "Effect of cation distribution on the structural and magnetic properties of nickel substituted nanosized Mn-Zn ferrites prepared by co-precipitation method", *Journal of Magnetism and Magnetic Materials*, Vol.322, pp.230–233, 2010.
- 9- A. K. Singha, A. K. Singha, T.C. Goelb, R.G. Mendirattac, "High performance Ni-substituted Mn-Zn ferrites processed by soft chemical technique", *Journal of Magnetism and Magnetic Materials*, Vol.281, pp.276–280, 2004.
- 10- S. E. Shirsat, B.G. Toksha, R.H. Kadam, S.M. Patange, D.R. Mane, G. S. Jangam, A. Ghasemi, "Doping effect of Mn<sup>2+</sup> on the magnetic behavior in Ni-Zn ferrite nanoparticles prepared by sol-gel auto-combustion", *Journal of Physics and Chemistry of Solids*, Vol.71, pp.1669–1675, 2010.
- 11- A. Goldman, *Modern Ferrite Technology*, 2nd Ed., Springer, New York, 2006.
- 12- R. Valenzuela, *Magnetic ceramics*, Cambridge University Press, New York, 1994.
- 13- K.A. Mohammed, A.D.Al-Rawas A.M.Gismelseed, A.Sella, H.M.Widatallah, A.Yousif, M.E. Elzain, M.Shongwe, "Infrared and structural studies of Mg<sub>1-x</sub>Zn<sub>x</sub>Fe<sub>2</sub>O<sub>4</sub> ferrites", *Physica B*, Vol.407, pp.795–804, 2012.
- ۱۴- ن. برهان، خ. قیصری، ح. محسنی، "توزیع کاتیونی، شاخصه‌های ساختاری و گشتاور مغناطیسی در ساختار

کریستالی اسپینل فریت لیتیم-روی تولید شده به روش سنتز احتراقی گلیسین-نیترات، مجله علمی-پژوهشی مواد نوین، ص ۹۱-۱۰۱، جلد ۴، شماره ۳، یهار ۹۳.

15- A.K. Singha, T.C. Goelb, R.G. Mendirattac" High performance Ni-substituted Mn-Zn ferrites processed by soft chemical technique" Journal of Magnetism and Magnetic Materials, Vol.281, pp.276-280, 2004.

16- A.R. Bueno, M.L. Gregori, M.C.S. Nobrega, "Effect of Mn substitution on the microstructure and magnetic properties of  $\text{Ni}_{0.50-x}\text{Zn}_{0.50-x}\text{Mn}_{2x}\text{Fe}_2\text{O}_4$  ferrite prepared by the citrate-nitrate precursor method", Materials Chemistry and Physics, Vol.105, pp.229-233, 2007.

17- E. R. kumar, R. Jayaprakash, M.S. Seehra, T. Prakash, S. Kumar, "Effect of  $\alpha$ - $\text{Fe}_2\text{O}_3$  phase on structural, magnetic and dielectric properties of Mn-Zn ferrite nanoparticles", Journal of Physics and

Chemistry of Solids, Vol. 74, pp. 943-949, 2013.

18- B.D. Cullity, Elements of X-ray Diffraction, 2nd Ed., Addison-Wesley Publishing Company, USA, 1978.

19- O.M. Hemed, "Electron spin resonance and cationdistribution studies of the  $\text{Co}_{0.6}\text{Zn}_{0.4}\text{Mn}_x\text{Fe}_{2-x}\text{O}_4$  ferrite system", Journal of Magnetism and Magnetic Materials, Vol. 251, pp.50-60, 2002.

20- E.C. Snelling, Ferrite for inductors and Transformers, Research Studies Press, New York, 2007.

21- A.K.M. Akhtar Hossain, S.T. Mahmud, M. Seki, T. Kawai, H. Tabata, "Structural electrical transport and magnetic properties of  $\text{Ni}_{1-x}\text{Zn}_x\text{Fe}_2\text{O}_4$ ", Journal of Magnetism and Magnetic Materials, Vol.312, pp.210-219, 2007.